

山梨大学工学部 正員 平島健一  
清水建設(株) 正員・多田博義

## 1. 緒言

現実の構造物を形成する構造体とその基礎は、いかにこの構造物に作用する荷重と含めた、いかにも構造環境には多くの不確定量があり、その主要なものとして統計的分布とする使用材料の変形形状、強度特性あるいは外荷重等を考慮する。したがって近年、荷重および構造材料等の統計的バラツキを考慮し、確率論的手法を用いて安全性と合理的に決定しようとすり内心が急速に高まってきた。一方、梁の横座屈は棒や板の座屈とは異なり、ほぼ梁の最大耐荷力を決定するから、構造物の設計上非常に重要な問題である。

本論文は以上のようないくつかの観点にたって、面内に単純曲げを受けた矩形断面の梁の横座屈について確率論的に検討したものであり、次のよう二つのケースを考察する。

## (1) 任意の初期たわみを有する矩形断面梁の横座屈問題

## (2) 単純曲げと横荷重のカップリングを考慮した矩形断面梁の安全性

## 2. 任意の初期たわみを有する矩形梁の横座屈

Fig. 1 のように座標系  $(x, y, z)$  および  $(\bar{x}, \bar{y}, \bar{z})$  を設け、 $\theta$  は  $\bar{y}$  軸に因る基準微分方程式は次式で与えられる。<sup>1)</sup>

$$\frac{d^2\varphi}{dz^2} + R^2\varphi = -R^2W(z), \quad R^2 = \frac{M^2}{EI_q C} \quad (1)$$

$= 1$ ,

$$W(z) = g_0 + \frac{EI_q}{M} \frac{d^2U_0}{dz^2}, \quad I_q = \frac{\pi b^3}{12}, \quad C = \frac{\pi b^3}{3} (1 - 0.630 \frac{b}{R}) G \quad (1')$$

$g_0, U_0$  および  $R$  は Fig. 1 に示すよう初期たわみおよびねじれ角である。(1)式の境界条件:  $z=0, l$  のとき  $\varphi = 0$  ..... (2)

のちとて解くと、Green 肉数  $G(z, t)$  と用いて次式のよう求めらる。

$$G(z) = \int_0^t G(z, t) W(t) dt \quad (3)$$

$$= 1, \quad G(z, t) = \begin{cases} = G_1(z, t) = \frac{k}{\sin kR} \{ \sin kz \sin k(t-z) \}, & z < t \\ = G_2(z, t) = \frac{k}{\sin kR} \{ \sin k(t-z) \sin kt \}, & z > t \end{cases} \quad (4)$$

$t = 3 \pi$ , 製作された梁の初期たわみは random な形状にならず考らる。

この梁の平均初期たわみが既知であるときには、平均付加たわみおよび平均自乗たわみの期待値が次式で計算される。

$$E[\varphi(z)] = \int_0^l G(z, t) E[W(t)] dt \quad (5)$$

$$E[\varphi^2(z)] = \int_0^l dt_1 \int_0^l dt_2 G(z, t_1) G(z, t_2) R_W(t_1, t_2) \quad (6)$$

$= 1, \quad R_W(t_1, t_2)$  は  $W(t)$  の自己相関肉数である。

初期たわみ  $U_0, g_0, R$  のうち、 $U_0$  は両端 ( $z=0, l$ ) では零にからなければならぬ。

これを考慮して、 $g_0$ :一定、 $U_0(z) = \sigma \sin \frac{\pi}{l} z$  と仮定すると、 $R_W(t_1, t_2)$  は

$$R_W(t_1, t_2) = (g_0 - \sigma \frac{A}{R} \sin \frac{\pi}{l} t_1) (g_0 - \sigma \frac{A}{R} \sin \frac{\pi}{l} t_2), \quad A = \frac{EI_q}{R} \quad (7)$$

と書き表わせる。Green 肉数は自己相関肉数の対称性を利用して(6)式には

$$E[\varphi(z)] = I_1^2 + 2I_1 I_2 + I_2^2, \quad \bar{R}_1 = R + \frac{\pi}{l}, \quad \bar{R}_2 = R - \frac{\pi}{l} \quad (8)$$

$I_1, I_2$ .

$$I_1 = \frac{g_0}{\sin kR} \sin k(l-z) + \frac{\sigma A}{R} \frac{\pi^2}{l^2} \sin k(l-z) \left\{ \frac{\sin \bar{R}_1 z}{\bar{R}_1} - \frac{\sin \bar{R}_2 z}{\bar{R}_2} \right\} \quad (8)$$

$$I_2 = \frac{g_0}{\sin kR} \sin k(l-z) + \frac{\sigma A}{R} \frac{\pi^2}{l^2} \sin k(l-z) \left\{ \frac{\sin (\bar{R}_1 - \bar{R}_2) z}{\bar{R}_2} - \frac{\sin (\bar{R}_2 - \bar{R}_1) z}{\bar{R}_1} \right\} \quad (8)$$

Fig. 1

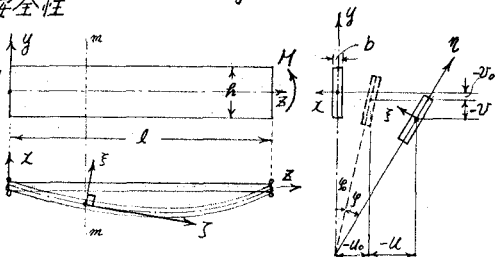


Fig. 2

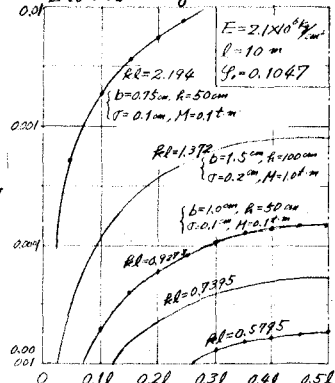
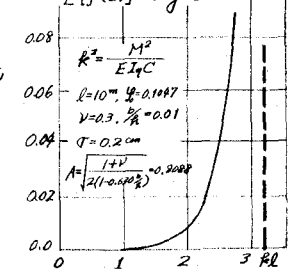


Fig. 3



平均自乗たわみ  $E[g(z)]$  と梁の位置  $Z$  との関係が Fig. 2 に示されてる。この図より、荷重パラメータ  $kL = \frac{LM}{EI_g C}$  が増加するにつれて、スパン上のすべての点で  $E[g(z)]$  が増加して、また、Fig. 3 はスパン中央点の  $E[g(z)]$  と  $kL$  の関数として表示したものであり、いかにも決定論的に求めた座屈荷重よりもはるかに小さな荷重で变形が大きくなることを示してます。

初期たわみを表す  $W(z)$  が Gauss 分布で近似できることを仮定した場合、变形に対する確率密度函数  $f(z, \theta)$  は次式：

$$f(z, \theta) = \frac{1}{\{\sqrt{2\pi} E[g(z)]\}} \exp\left(-\frac{z^2}{2E[g(z)]}\right) \quad (9)$$

これと  $z$  が  $0$  から  $L$  の間の確率  $P_r[g(z) > n g_0]$  より大きくなる確率は次式となります。

$$P_r[g(z) > n g_0] = 2 \int_{ng_0}^{\infty} f(z, \theta) dz = \operatorname{erfc}\left\{\frac{ng_0}{\sqrt{2E[g(z)]}}\right\} \quad (10)$$

梁の中央点でのそれの幾つかの値に対して計算したのが Fig. 4 である。

### 3. 複合荷重の Coupling を考慮した矩形梁の安全性

Fig. 5 のように複合荷重 ( $M$  と  $P_z$ ) が作用する場合の基礎方程式は

$$\frac{d^4 y}{dz^4} + R^2 y = -\frac{k^2 P_z}{M^2} z (1-z) \quad (11)$$

となる。<sup>1)</sup> 境界条件 (2) のとおり上式を解き、Z 軸のまわりの曲げモーメント  $M_y$  を求める。

$M_y = EI_y \frac{d^2 u}{dz^2} = \frac{P_z}{k^2} (\tan \frac{kz}{2} \sin kz + \cos kz - 1)$  とします。<sup>2)</sup>  $M_{y_{max}}$  は  $z = \frac{L}{2}$  で生じる。その値は、Taylor 展開して座屈荷重  $M_c = \frac{\pi^2 EI_g C}{L^2}$  と用いて表すと次式となります。

$$M_{y_{max}} = \frac{P_z L^4}{8} + \frac{5L^4}{384EI_g C} \frac{M^2 P_z}{1-(M/M_c)^2} \quad (12)$$

したがって、面内曲げモーメント  $M$  と横荷重  $P_z$  によって生じる最大曲げ応力  $\sigma_{max}$  は次式：

$$\sigma_{max} = \frac{M}{W} + k_1 P_z + k_2 \frac{M^2 P_z}{1-(M/M_c)^2}; \quad M/M_c < 1 \quad (13)$$

$= 1$  は、 $W = I_y/8$ ,  $k_1 = P_z/8W_x$ ,  $k_2 = 5L^4/384EI_g C W_x$ ,  $W_x = I_x/4$ ,  $I_x = I_y/2$ ,  $I_z = I_y/2$

で求められます。<sup>3)</sup> まことに 3 部材の破壊が单一のエード (= Z は横断面に沿って 3 個破壊) で生じるとし、部材(左)の力  $S$  と耐荷載荷重  $R$  が統計的に独立であるとするれば、破壊の確率  $P_f = \operatorname{Prob}(R < S)$  は、 $F_2(s)$  は確率分布函数として

$$P_f = \int_0^s F_2(s) f_2(s) ds = \left( \int_0^s \int_0^s f_{S,R}(s, t) dr ds \right) \quad (14)$$

が成立する。 $s = 3 z$ ,  $= Z$  対象として 3 部材の面内曲げモーメント  $M$  と横荷重  $P_z$  は独立に作用するが、 $M$  と  $P_z$  の同時確率密度函数は次のようになります。

$$f_{M,P_z}(M, P_z) = f_M(M) \cdot f_T(P_z) \quad (15)$$

$= 1$  は、 $f_M$ ,  $f_T$  は  $M$ ,  $P_z$  のそれぞれの確率密度函数である。

したがって、 $\sigma = M$  と  $P_z$  に対して単調に増加する  $\sigma$  と利用すれば、

$$f_{\Sigma}(\sigma) = \frac{d}{d\sigma} F_{\Sigma}(\sigma) = \frac{1}{\sigma} \left[ \int_0^B f_M(M) \int_0^{M/\sigma} f_T(t) dt dM \right] \quad (16)$$

$$\therefore f_{\Sigma}(\sigma) = \int_0^B f_M(M) f_T\left(\frac{\sigma - M_{max}}{k_1 + k_2 \frac{M^2}{1-(M/M_c)^2}}\right) \frac{dM}{k_1 + k_2 \frac{M^2}{1-(M/M_c)^2}} \quad (16')$$

$= Z$  は、 $B$  の値は  $\sigma \leq M_{max}$  のとき  $B = W$ ,  $\sigma > M_{max}$  のとき  $B = M_c$ 。

次に、曲げ応力の確率密度函数を具体的に計算する。<sup>4)</sup> まことに Fig. 6 で表す

ように、 $M$  と  $P_z$  が一様に分布して 3 部材の、また、 $\sigma$  は  $\sigma$  の上限は純曲げによる荷重密度が横荷重によるそれを並び替えるようになります。 $\sigma = Z$  は  $M_{max} = \frac{L}{2} M_c$  とします。<sup>5)</sup> まことに

参考文献：1) S.P. Timoshenko and J.M. Gere "Theory of Elastic Stability" 2nd Ed. Kagaku-sha (1961) pp. 251~269

2) R.G. Jacquot : "Nonstationary Random Column Buckling Problem", Jour. EM Div., Proc. ASCE (1972), pp. 1173~1182.

3) C.B. Brown and R.J. Evans : "Safety of An Elastic Beam-Column", Jour. EM Div., Proc. ASCE (1972), pp. 805~812

Fig. 4

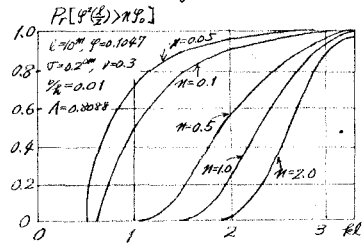


Fig. 5

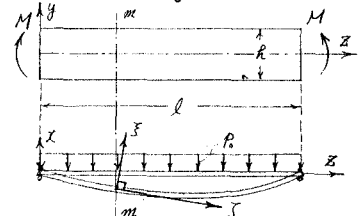


Fig. 6

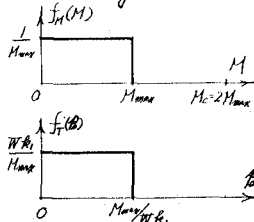


Fig. 7

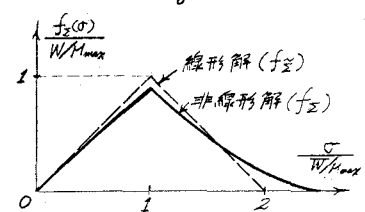


Fig. 8

